

# Algorithmes pour la décomposition primaire des idéaux polynomiaux de dimension nulle donnés en évaluation.

**Clémence Durvye.**

UMR 8100 du CNRS

Laboratoire de mathématiques

Université de Versailles

Saint-Quentin-en-Yvelines

## Problématique

Soit  $\mathbb{K}$  un corps de caractéristique 0, de clôture algébrique  $\bar{\mathbb{K}}$ .

On cherche à résoudre un système algébrique **de dimension nulle**

$$f_1 = \cdots = f_s = 0, g \neq 0,$$

où  $f_1, \dots, f_s, g \in \mathbb{K}[x_1, \dots, x_n]$ .

↪ applications en géométrie algébrique effective, robotique, etc.

## Descriptions de l'ensemble des solutions

1. Description ensembliste
2. Description algébrique

## Calcul de la description ensembliste

1. Dimension et position de Noether
2. Éléments primitifs et représentations univariées
3. Algorithme de résolution
4. Calcul des multiplicités

## Calcul de la description algébrique

1. Localisation et intersection
2. Calcul du module localisé de courbe
3. Formes de Hermite et sommes de modules

## Conclusion

## Représentation univariée : un exemple

$$n = 2, \mathbb{K} = \mathbb{Q}$$

L'ensemble des solutions du système

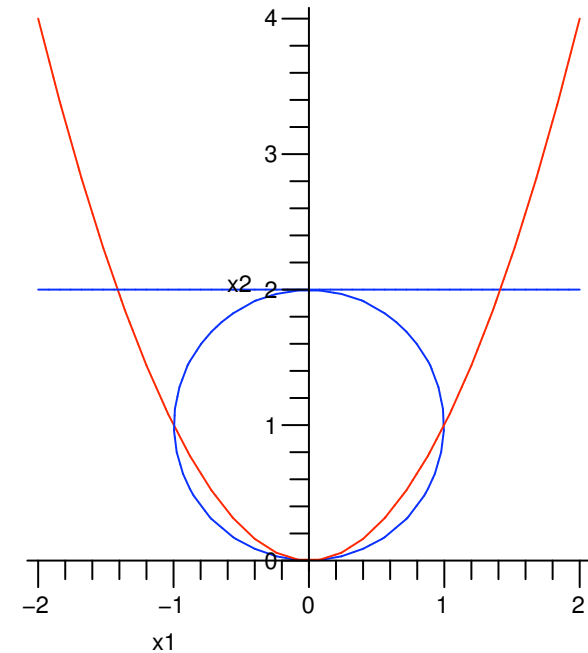
$$\begin{cases} f_1 = (x_1^2 + (x_2 - 1)^2 - 1)(x_2 - 2), \\ f_2 = x_2 - x_1^2 \end{cases}$$

est

$$\{(0, 0), (-1, 1), (1, 1), (-\sqrt{2}, 2), (\sqrt{2}, 2)\}$$

que l'on peut décrire par

$$\begin{cases} x_1(x_1 - 1)(x_1 + 1)(x_1^2 - 2) = 0, \\ x_2 = x_1^2. \end{cases}$$



## Algorithmes de calcul d'une représentation univariée

**Entrée** :  $f_1, \dots, f_n \in \mathbb{K}[x_1, \dots, x_n]$ .

**Sortie** : une représentation univariée de l'ensemble des solutions du système  $f_1 = \dots = f_n = 0$  s'il est fini.

Deux familles d'algorithmes, liées à la représentation des polynômes de départ :

- **algorithmes de réécriture** : bases de Gröbner, algorithme *RUR* (*Maple 11*), résultants,...
- **algorithmes par évaluation** : travaux du groupe TERA (Giusti, Heintz, Pardo, Lecerf, Salvy,...), algorithme *Kronecker*, implémenté en *Magma* ([www.math.uvsq.fr/~lecerf](http://www.math.uvsq.fr/~lecerf))

↪ Ce n'est qu'une description ensembliste.

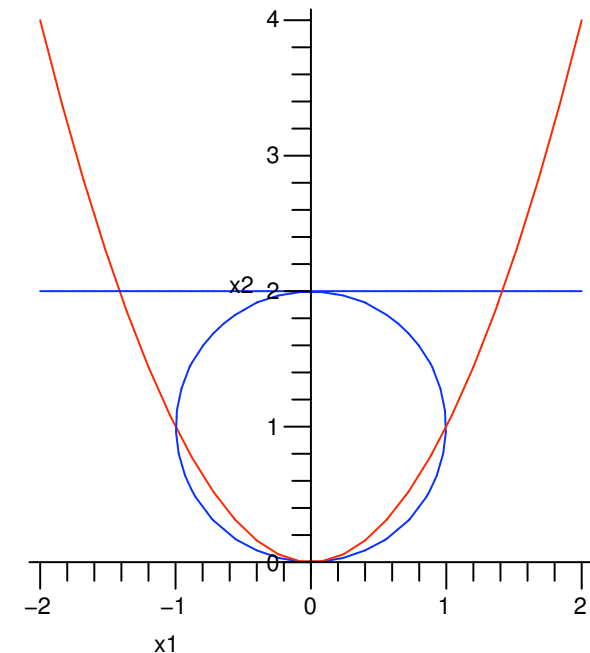
$$f_1 = (x_1^2 + (x_2 - 1)^2 - 1)(x_2 - 2)$$

$$f_2 = (x_2 - x_1^2)$$

$$(f_1, f_2)$$

$$= (x_1^2(x_1 - 1)(x_1 + 1)(x_1^2 - 2), x_2 - x_1^2)$$

$$\neq (x_1(x_1 - 1)(x_1 + 1)(x_1^2 - 2), x_2 - x_1^2)$$



## Descriptions de l'ensemble des solutions

1. Description ensembliste
2. Description algébrique :
  - (a) point de vue global
  - (b) point de vue local

Calcul de la description ensembliste

Calcul de la description algébrique

Conclusion

## Idéaux primaires de dimension nulle

### Remarque

Soit  $g = \prod_{j=1}^s (x - p^{(j)})^{\nu_j} \in \bar{\mathbb{K}}[x]$ . Alors

$$(g) = (x - p^{(1)})^{\nu_1} \cap \dots \cap (x - p^{(s)})^{\nu_s}.$$

### Définition

Un idéal  $\mathcal{J}$  de  $\mathbb{K}[x_1, \dots, x_n]$  est dit **de dimension nulle** si  $\{(p_1, \dots, p_n) \in \bar{\mathbb{K}}^n, \forall f \in \mathcal{J}, f(p_1, \dots, p_n) = 0\}$  est fini.

Un idéal **de dimension nulle**  $\mathcal{Q}$  de  $\bar{\mathbb{K}}[x_1, \dots, x_n]$  est dit **primaire** si  $\{(p_1, \dots, p_n) \in \bar{\mathbb{K}}^n, \forall f \in \mathcal{Q}, f(p_1, \dots, p_n) = 0\}$  contient exactement un point.



## Décomposition primaire

**Exemple** Soit  $g = \prod_{j=1}^s (x - p^{(j)})^{\nu_j} \in \bar{\mathbb{K}}[x]$ .

Alors  $(g) = (x - p^{(1)})^{\nu_1} \cap \dots \cap (x - p^{(s)})^{\nu_s}$ .

### Théorème

Pour tout idéal **de dimension nulle**  $\mathcal{I}$  de  $\bar{\mathbb{K}}[x_1, \dots, x_n]$ , il existe un unique ensemble d'idéaux *primaires*  $\{\mathcal{Q}_1, \dots, \mathcal{Q}_s\}$  tels que

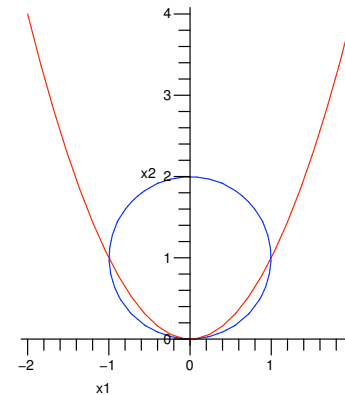
$$\mathcal{I} = \mathcal{Q}_1 \cap \dots \cap \mathcal{Q}_s.$$

### Exemple

$$f_1 = x_1^2 + (x_2 - 1)^2 - 1,$$

$$f_2 = x_2 - x_1^2.$$

$$(f_1, f_2) = (x_1^2, x_2) \cap (x_1 - 1, x_2 - 1) \cap (x_1 + 1, x_2 - 1).$$



# Algorithmes de décomposition primaire

**Entrée** : une famille  $f_1, \dots, f_s$  de polynômes.

**Sortie** : une famille de générateurs de “chaque” idéal primaire.

## Algorithmes

- [*Gianni, Trager, Zacharias 88*],
- [*Eisenbud, Huneke, Vasconcelos 92*],
- [*Shimoyama, Yokohama 94*],
- [*Decker, Greuel, Pfister 99*],
- [*Steel 05*], [*Gao, Wan, Wang 06*]  
(caractéristique positive et corps finis),...

↪ ces algorithmes procèdent par calcul de bases de Gröbner ;

↪ les polynômes  $y$  sont représentés dans la base des monômes.

## Descriptions de l'ensemble des solutions

1. Description ensembliste
2. Description algébrique :
  - (a) point de vue global
  - (b) point de vue local

Calcul de la description ensembliste

Calcul de la description algébrique

Conclusion

## Algèbre locale

Pour  $p = (p_1, \dots, p_n) \in \bar{\mathbb{K}}^n$ , on note  $\bar{\mathbb{K}}[[x_1 - p_1, \dots, x_n - p_n]]$  l'anneau des séries formelles en  $x_1 - p_1, \dots, x_n - p_n$  sur  $\bar{\mathbb{K}}$ .

### Exemple

$$\mathcal{I} = (x_1^2(x_1 - 1)(x_1 + 1), x_2 - x_1^2),$$
$$\mathcal{I}\bar{\mathbb{K}}[[x_1, x_2]] = (x_1^2, x_2).$$

**Définition** L'algèbre locale de  $p$  comme racine de  $\mathcal{I}$  est

$$\mathbb{D}_p = \bar{\mathbb{K}}[[x_1 - p_1, \dots, x_n - p_n]]/(\mathcal{I}).$$

La **multiplicité** de  $p$  comme racine de  $\mathcal{I}$  est la dimension de  $\mathbb{D}_p$ .

### Exemple

$$\mathbb{D}_{(0,0)} = \bar{\mathbb{K}}[[x_1, x_2]]/(x_1^2, x_2),$$
$$\mathbb{D}_{(1,1)} = \bar{\mathbb{K}}[[x_1 - 1, x_2 - 1]]/(x_1 - 1, x_2 - 1).$$

## Historique de la décomposition primaire : cas de la dimension nulle

Entrée : une famille  $f_1, \dots, f_s$  de polynômes.

Sortie : pour toute racine du système, les matrices de multiplication par les variables dans une base de son algèbre locale  $\mathbb{D}_p$ .

### Algorithme Global

↪ algèbre linéaire dans  $\bar{\mathbb{K}}[x_1, \dots, x_n]/(f_1, \dots, f_s)$

(bases de Gröbner)

– [*Alonso, Becker, Roy, Wörmann 96*], ...

### Algorithmes Locaux (après le calcul d'une racine $p$ du système)

↪ élimination dans  $\bar{\mathbb{K}}[[x_1 - p_1, \dots, x_n - p_n]]$

(bases standard, ordres locaux)

– [*Mora 91*], [*Greuel, Pfister 96*]

↪ dualité entre polynômes et opérateurs différentiels.

– [*Mourrain 96*], [*Dayton, Zeng 05*], [*Leykin 08* (dim. positive)]

## Descriptions de l'ensemble des solutions

1. Description ensembliste
2. Description algébrique

## Calcul de la description ensembliste

1. Position de Noether et module de courbe
2. Éléments primitifs et représentations univariées
3. Algorithme de résolution
4. Calcul des multiplicités

## Calcul de la description algébrique

## Conclusion

## Résolution géométrique et “Kronecker” solver

- 1990–1999** Algorithmes probabilistes théoriques avec un coût polynomial en le degré géométrique pour calculer les racines isolées : Giusti, Hägele, Heintz, Matera, Montaña, Morais, Morgenstern, Pardo, Sabia, Smietanski.
- 1999–2001** Algorithmes pratiques et implantation : Aldaz, Bruno, Castaño, Hägele, Heintz, Llovet, Marchand, Martínez, Matera, Wachenchauzer, [*Giusti, Lecerf, Salvy 01*], [*Magma Kronecker package*].
- 2001–2003** Généralisations pour le calcul de la décomposition équidimensionnelle d'une variété : Jeronimo, Lecerf, Krick, Puddu, Sabbia, Sombra,...
- 2006** une preuve autonome, calcul des multiplicités des racines isolées sans coût supplémentaire : [*Durvyé, Lecerf, 2007*]
- 2007** Description algébrique des racines isolées : [*Durvyé, 2008*]

## Descriptions de l'ensemble des solutions

1. Description ensembliste
2. Description algébrique

## Calcul de la description ensembliste

1. Position de Noether et module de courbe
2. Éléments primitifs et représentations univariées
3. Algorithme de résolution
4. Calcul des multiplicités

## Calcul de la description algébrique

## Conclusion

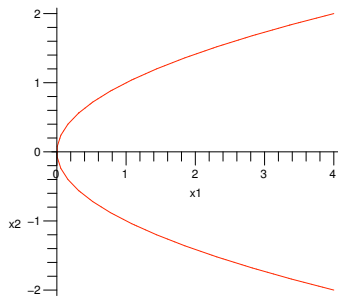


## Position de Noether générale

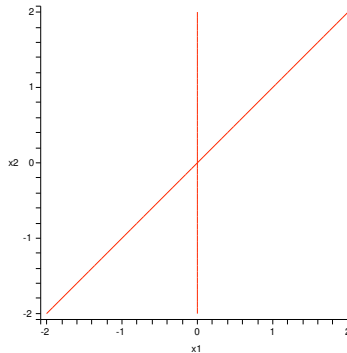
**Définition** Soit  $\mathcal{I}$  un idéal de  $\mathbb{K}[x_1, \dots, x_n]$ .

$\mathcal{I}$  est dit en **position de Noether générale** (p.N.g.) s'il existe  $r$  t.q.

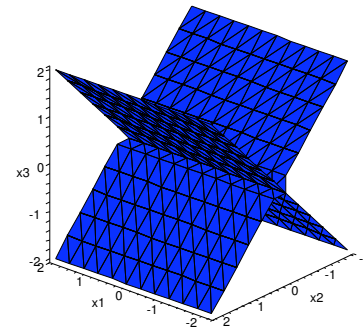
- $\mathbb{K}[x_1, \dots, x_r] \cap \mathcal{I} = (0)$  (variables **libres**),
- $\forall j \in \{r + 1, \dots, n\}, \exists q \in \mathcal{I} \cap \mathbb{K}[x_1, \dots, x_r, x_j]$  tel que  $\deg_{x_j}(q) = \deg(q)$  (variables **liées**).



$$(x_2^2 - x_1)$$



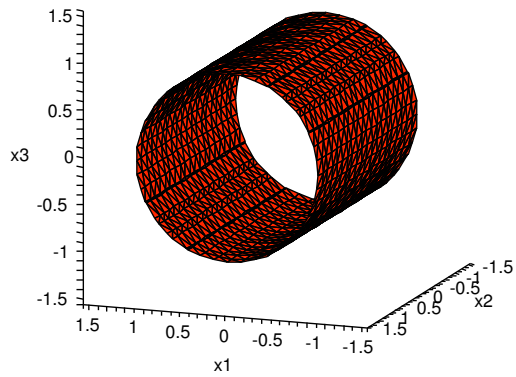
$$(x_1 x_2 - x_1^2)$$



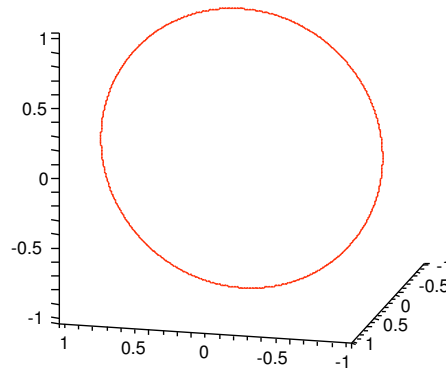
$$(x_3^2 - x_2^2)$$

$\rightsquigarrow r$  est alors la **dimension** de l'idéal.

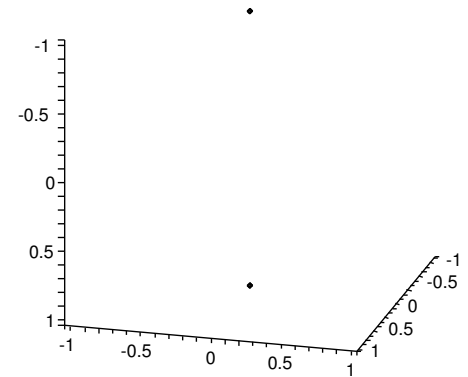
# Position de Noether et spécialisations



$$(x_3^2 + x_1^2 - 1)$$



$$(x_3^2 + x_1^2 - 1) + (x_2)$$



$$(x_3^2 + x_1^2 - 1) + (x_1, x_2)$$

## Le $\mathbb{K}[x_1, \dots, x_r]$ -module $\mathbb{B}$

Soit  $\mathcal{I}$  un idéal de  $\mathbb{K}[x_1, \dots, x_n]$  en position de Noether générale, et soit

$$\mathbb{B} = \mathbb{K}[x_1, \dots, x_r][x_{r+1}, \dots, x_n]/\mathcal{I}.$$

### Proposition

Le  $\mathbb{K}[x_1, \dots, x_r]$ -module  $\mathbb{B}$  est **sans torsion** si et seulement si  $\mathcal{I}$  est  **$r$ -équidimensionnel** (unmixed).

$\rightsquigarrow$  dans le cas d'une courbe équidimensionnelle,  $\mathbb{B}$  est un  $\mathbb{K}[x_1]$ -module libre de type fini.

### Exemple

$\mathbb{K}[x_1, x_2]/(x_1^2 + (x_2 - 1)^2 - 1)$  est un  $\mathbb{K}[x_1]$ -module libre.

## Descriptions de l'ensemble des solutions

1. Description ensembliste
2. Description algébrique

## Calcul de la description ensembliste

1. Position de Noether et module de courbe
2. Éléments primitifs et représentations univariées
3. Algorithme de résolution
4. Calcul des multiplicités

## Calcul de la description algébrique

## Conclusion

## Élément Primitif

Soit  $\mathcal{I}$  en p.N.g. radical, et  $\mathcal{I}' = \mathcal{I}\mathbb{K}(x_1, \dots, x_r)[x_{r+1}, \dots, x_n]$ .

### Définition

On dit que  $x_{r+1}$  est primitif pour  $\mathcal{I}$  si ses puissances engendrent le  $\mathbb{K}(x_1, \dots, x_r)$ -espace vectoriel

$$\mathbb{B}' = \mathbb{K}(x_1, \dots, x_r)[x_{r+1}, \dots, x_n] / \mathcal{I}'.$$

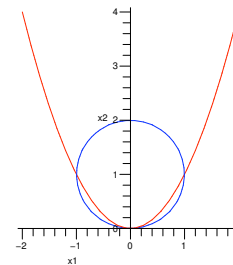
### Propriété utile

Si  $\mathcal{I}$  est un idéal de dimension nulle, et si  $x_1$  est primitif pour  $\mathcal{I}$ , alors  $x_1$  sépare les racines de  $\mathcal{I}$ .

### Exemple

$x_1$  est primitif pour

$$\sqrt{(x_1^2 + (x_2 - 1)^2 - 1, x_2 - x_1^2)}.$$



## Représentations univariées

Soit  $\mathcal{I}$  un idéal radical équidim. en p.N.g., d'élémt primitif  $x_{r+1}$ .

$$\mathbb{B}' = \mathbb{K}(x_1, \dots, x_r)[x_{r+1}, \dots, x_n]/\mathcal{I}',$$

et  $q$  le polynôme minimal de  $x_{r+1}$  dans  $\mathbb{B}'$ .

### Représentation univariée (RU)

$\exists! v_{r+2}, \dots, v_n \in \mathbb{K}(x_1, \dots, x_r)[x_{r+1}]$ ,  $\deg(v_j) \leq \deg(q) - 1$   
tels que

$$\mathcal{I}' = (q(x_{r+1}), x_{r+2} - v_{r+2}(x_{r+1}), \dots, x_n - v_n(x_{r+1})).$$

### Représentation de Kronecker (RK) (aussi appelée RUR)

$\exists! w_{r+2}, \dots, w_n \in \mathbb{K}(x_1, \dots, x_r)[x_{r+1}]$ ,  $\deg(w_i) \leq \deg(q) - 1$   
tels que

$$\mathcal{I}' = (q(x_{r+1}), q'(x_{r+1})x_{r+2} - w_{r+2}, \dots, q'(x_{r+1})x_n - w_n).$$

## Exemple

$$\begin{cases} f_1 = (x_2 - 1)^2 + (x_1 + 2x_2 + 4x_3)^2 + 1 \\ f_2 = x_3^2 - x_2^2 \end{cases}$$

Représentation univariée (RU) pour  $x_2$

$$q = x_2^4 + \frac{(84-88x_1)}{185} x_2^3 + \frac{(4-6x_1^2)}{185} x_2^2 + \frac{(x_1^3+x_1^2)}{185} x_2 + \frac{x_1^4}{185},$$

$$x_3 = \frac{370}{136x_1^2+32x_1} x_2^3 - \frac{361x_1-168}{136x_1^2+32x_1} x_2^2 - \frac{10x_1^2-10x_1-8}{136x_1^2+32x_1} x_2 - \frac{13x_1^3-4x_1^2}{136x_1^2+32x_1}.$$

Représentation de Kronecker (RK) pour  $x_2$

$$q = x_2^4 + \frac{(84-88x_1)}{185} x_2^3 + \frac{(4-6x_1^2)}{185} x_2^2 + \frac{(x_1^3+x_1^2)}{185} x_2 + \frac{x_1^4}{185},$$

$$\frac{\partial q}{\partial x_2} x_3 = -\frac{208x_1-64}{185} x_2^3 + \frac{64x_1^2}{185} x_2^2 + \frac{16x_1^3}{185} x_2.$$

## Représentation de Kronecker

Soit

$$\mathcal{I}' = (q(x_{r+1}), q'(x_{r+1})x_{r+2} - w_{r+2}(x_{r+1}), \dots, q'(x_{r+1})x_n - w_n(x_{r+1}))$$

la représentation de Kronecker d'un idéal radical en position de Noether générale  $\mathcal{I}$  pour l'élément primitif  $x_{r+1}$ .

**Proposition**

$$\begin{cases} q, w_{r+1}, \dots, w_n \in \mathbb{K}[x_1, \dots, x_r][x_{r+1}]; \\ \deg(q) = \deg_{x_{r+1}}(q) = \delta \text{ et } \deg(w_j) \leq \delta. \end{cases}$$

De plus, on a

$$\begin{cases} (q) = \mathcal{I} \cap \mathbb{K}[x_1, \dots, x_r, x_{r+1}]; \\ \forall j \in \{r+2, \dots, n\}, q'(x_{r+1})x_j - w_j(x_{r+1}) \in \mathcal{I}. \end{cases}$$



## Descriptions de l'ensemble des solutions

1. Description ensembliste
2. Description algébrique

## Calcul de la description ensembliste

1. Position de Noether et module de courbe
2. Éléments primitifs et représentations univariées
3. **Algorithme de résolution**
4. Calcul des multiplicités

## Calcul de la description algébrique

## Conclusion

## Vue d'ensemble de l'algorithme de résolution géométrique

Soient  $f_1, \dots, f_n, g \in \mathbb{K}[x_1, \dots, x_n]$ . On pose

$$\begin{cases} \mathcal{I}_i & := (f_1, \dots, f_i) : g^\infty, \\ \mathcal{J}_i & := \sqrt{\mathcal{I}_i + (x_1, \dots, x_{n-i-1}, x_{n-i})}, \\ \mathcal{K}_i & := \sqrt{\mathcal{I}_i + (x_1, \dots, x_{n-i-1})}. \end{cases}$$

Boucle principale (sous les bonnes hypothèses) :

calcul d'une représentation de  $\mathcal{J}_{i+1}$  à partir de celle de  $\mathcal{J}_i$  :

- (1) **relèvement** : calcul d'une représentation de  $\mathcal{K}_i$  ;
- (2) **intersection** : calcul d'une représentation de  $\sqrt{\mathcal{K}_i + (f_{i+1})}$  ;
- (3) **nettoyage** : calcul d'une représentation de  $\sqrt{\mathcal{K}_i + (f_{i+1})} : g^\infty$ .

## “Mélanges”

Les données  $f_1, \dots, f_n, g \in \mathbb{K}[x_1, \dots, x_n]$  vérifient

$(H) : \forall i \in \{0, \dots, n-1\}, \mathcal{I}_i = (f_1, \dots, f_i) : g^\infty$  est radical et  $f_{i+1}$  n'est pas diviseur de 0 modulo  $\mathcal{I}_i$ .

### Proposition

Après un changement de variables affine  $x = Ay + b$ , pour  $A$  et  $b$  dans un ouvert de Zariski dense, on a :

- $\mathcal{I}_i$  est en position de Noether générale avec  $r = n - i$  variables libres ;
- $x_{r+1}$  est primitif pour  $\mathcal{J}_i$  et pour  $\mathcal{K}_i$  ;
- $x_r$  est primitif pour  $\sqrt{\mathcal{K}_i + (f_{i+1})}$  ;
- $\mathcal{J}_{i+1} = \sqrt{\mathcal{K}_i + (f_{i+1})} : g^\infty$ .

$\rightsquigarrow$  un “mélange des équations” permet d'obtenir  $(H)$  sans perte de généralité.

## Descriptions de l'ensemble des solutions

1. Description ensembliste
2. Description algébrique

## Calcul de la description ensembliste

1. Position de Noether et module de courbe
2. Éléments primitifs et représentations univariées
3. Algorithme de résolution
4. Calcul des multiplicités

## Calcul de la description algébrique

## Conclusion

## Polynôme caractéristique et multiplicités

Soient

- $\mathcal{I}$  un idéal 1-équidimensionnel radical en p.N.g., de représentation univariée  $q, v_3, \dots, v_n$  pour l'élément primitif  $x_2$ ,
- $f$  un polynôme non diviseur de 0 dans  $\mathbb{B} = \mathbb{K}[x_1, \dots, x_n]/\mathcal{I}$ , tels que  $\mathcal{I} + (f)$  admet  $x_1$  comme élément primitif.

Soit  $\chi \in \mathbb{K}[x_1]$  le pol. caract. de  $m_{x_1}$  dans  $\mathbb{B}/(f)$ .

Alors  $\chi(x_1) = \text{Res}_{x_2}(q(x_2), f(x_1, x_2, v_3(x_2), \dots, v_n(x_2)))$ .

Or

soient  $\rho^{(1)}, \dots, \rho^{(s)} \in \bar{\mathbb{K}}^n$  les racines distinctes de  $\mathcal{I} + (f)$ , de multiplicités respectives  $m_1, \dots, m_s$ .

Alors  $\chi(x_1) = \prod_{\ell=1}^s (x_1 - \rho_1^{(\ell)})^{m_\ell}$ .

## Descriptions de l'ensemble des solutions

1. Description ensembliste
2. Description algébrique

## Calcul de la description ensembliste

1. Position de Noether et module de courbe
2. Éléments primitifs et représentations univariées
3. Algorithme de résolution
4. Calcul des multiplicités

## Calcul de la description algébrique

1. Localisation et intersection
2. Calcul du module localisé de courbe
3. Formes de Hermite et sommes de modules

## Conclusion

## Réductions préliminaires

On se ramène à

- un idéal  $(f_1, \dots, f_{n-1}) : g^\infty$  radical 1-équidimensionnel, en position de Noether générale, donné par sa représentation de Kronecker pour l'élément primitif  $x_2$ ,
- une nouvelle équation  $f_n$  telle que  $(f_1, \dots, f_{n-1}) : g^\infty + (f_n)$  est de dimension nulle et admet pour élément primitif  $x_1$ .

On suppose que 0 est racine multiple de

$(f_1, \dots, f_n) : g^\infty + (f_n)$ , de multiplicité  $\mu_0$  connue.

On veut calculer

$$\begin{aligned} \mathbb{D}_0 &= \mathbb{K}[[x_1, \dots, x_n]] / (f_1, \dots, f_n) : g^\infty \\ &= \mathbb{K}[[x_1, \dots, x_n]] / (f_1, \dots, f_{n-1}) : g^\infty + (f_n) \end{aligned}$$

## Descriptions de l'ensemble des solutions

1. Description ensembliste
2. Description algébrique

## Calcul de la description ensembliste

1. Position de Noether et module de courbe
2. Éléments primitifs et représentations univariées
3. Algorithme de résolution
4. Calcul des multiplicités

## Calcul de la description algébrique

1. Localisation et intersection
2. Calcul du module localisé de courbe
3. Formes de Hermite et sommes de modules

## Conclusion



## Localisation en $x_1 = 0$

Soient  $\mathbb{B} = \mathbb{K}[x_1, \dots, x_n]/(f_1, \dots, f_{n-1}) : g^\infty$ , et  $p^{(1)}, \dots, p^{(s)} \in \mathbb{K}^n$  les racines de  $(f_1, \dots, f_{n-1}) : g^\infty + (f_n)$ .

Alors

$$\mathbb{B}/(f_n) \simeq \mathbb{D}_{p^{(1)}} \times \mathbb{D}_{p^{(2)}} \times \cdots \times \mathbb{D}_{p^{(s)}}.$$

Soient  $\mathbb{K}[[x_1]]$  l'anneau des séries formelles en  $x_1$ , et

$$\mathbb{B}_0 = \mathbb{K}[[x_1]][x_2, \dots, x_n]/(f_1, \dots, f_{n-1}) : g^\infty.$$

### Proposition

$\mathbb{B}_0$  est un  $\mathbb{K}[[x_1]]$ -module libre de type fini, et

$$\mathbb{B}_0/(f_n) \simeq \mathbb{D}_0 = \mathbb{K}[[x_1, \dots, x_n]]/(f_1, \dots, f_{n-1}) : g^\infty + (f_n).$$

**Exemple**  $(f_1, f_2) = (x_1^2(x_1 - 1)(x_1 + 1), x_2 - x_1^2)$ .

$(f_1, f_2)\mathbb{K}[[x_1]][x_2] = (x_1^2, x_2)$ , et  $\mathbb{B}_0/(f_2) \simeq \mathbb{D}_0$ .

## Calcul d'une base de $\mathbb{D}_0$

Entrée : une base de

$$\mathbb{B}_0 = \mathbb{K}[[x_1]][x_2, \dots, x_n]/(f_1, \dots, f_{n-1}) : g^\infty.$$

Sortie : une base de  $\mathbb{D}_0 \simeq \mathbb{B}_0/(f_n)$ .

### Forme de Smith

(Diagonalisation d'une matrice dans un anneau principal)

Soit  $\delta_0$  la dimension du  $\mathbb{K}[[x_1]]$ -module  $\mathbb{B}_0$ .

$\exists e_1, \dots, e_{\delta_0}$  et  $e'_1, \dots, e'_{\delta_0}$  bases de  $\mathbb{B}_0$ ,

$\exists \nu_1 \leq \dots \leq \nu_{\delta_0}$  suite d'entiers, tels que  $f_n e_i = x_1^{\nu_i} e'_i$ .

### Proposition

$$\left\{ \begin{array}{l} e'_1, x_1 e'_1, \dots, x_1^{\nu_1 - 1} e'_1 \\ \vdots \quad \quad \quad \vdots \quad \quad \quad \vdots \\ e'_{\delta_0}, x_1 e'_{\delta_0}, \dots, x_1^{\nu_{\delta_0} - 1} e'_{\delta_0} \end{array} \right. \text{ est une base de } \mathbb{B}_0/(f_n).$$

## Descriptions de l'ensemble des solutions

1. Description ensembliste
2. Description algébrique

## Calcul de la description ensembliste

1. Position de Noether et module de courbe
2. Éléments primitifs et représentations univariées
3. Algorithme de résolution
4. Calcul des multiplicités

## Calcul de la description algébrique

1. Localisation et intersection
2. Calcul du module localisé de courbe
3. Formes de Hermite et sommes de modules

## Conclusion

## Propriétés de $\mathbb{B}_0$ (1)

$\rightsquigarrow \mathbb{B}_0$  est une sous-algèbre de la clôture entière de  $\mathbb{K}[[x_1]]$  dans  $\mathbb{K}((x_1))[x_2]/(q)$ .

Soit  $\delta = \deg(q)$ , et  $m \leq \delta(\delta - 1)/2$  la demi-valuation en  $x_1$  de  $\text{disc}_{x_2}(q)$ .

On pose

$$\mathbb{L}_0 = \mathbb{K}[[x_1]] \frac{1}{x_1^m} \oplus \cdots \oplus \mathbb{K}[[x_1]] \frac{x_2^{\delta-1}}{x_1^m}.$$

### Proposition

$\mathbb{B}_0$  est un sous-module de  $\mathbb{L}_0$ .

$\rightsquigarrow$  les relations  $q'(x_2)x_j - w_j(x_2) \in \mathcal{I}$  permettent de calculer les coordonnées des  $x_j$  dans la base canonique de  $\mathbb{L}_0$ .

## Propriétés de $\mathbb{B}_0$ (2)

On pose

$$\mathbb{M}_0 = \mathbb{K}[[x_1]] \oplus \cdots \oplus \mathbb{K}[[x_1]]x_2^{\delta-1}.$$

**Proposition**

Comme  $\mathcal{I} \cap \mathbb{K}[x_1, x_2] = (q)$ ,

$\mathbb{M}_0$  est un sous-module de  $\mathbb{B}_0$ .

$\rightsquigarrow \mathbb{B}_0$  est la plus petite sous-algèbre de  $\mathbb{L}_0$  qui contient  $\mathbb{M}_0$  et  $x_3, \dots, x_n$ .

## Calcul de $\mathbb{B}_0$

**Entrée** : la représentation de Kronecker de  $\mathcal{I}$ .

**Sortie** : une base de  $\mathbb{B}_0 = \mathbb{K}[[x_1]][x_2, \dots, x_n]/\mathcal{I}_0$ .

### Algorithme

- on pose  $\mathbb{M} = \mathbb{M}_0$  ;
- on calcule  $\mathbb{M}' = \mathbb{M} + \mathbb{K}[[x_1]]x_3 + \dots + \mathbb{K}[[x_1]]x_n$  ;
- tant que  $\mathbb{M} \neq \mathbb{M}'$ ,  
     $\mathbb{M} = \mathbb{M}'$ , donné par une base  $e_1, \dots, e_\delta$ ,  
     $\mathbb{M}' = \mathbb{M} + \sum_{1 \leq i, j \leq \delta} \mathbb{K}[[x_1]]e_i e_j$ .

**Coût** Cet algorithme nécessite au pire  $(n - 2) + m\delta^3$  sommes du type  $\mathbb{M} + \mathbb{K}[[x_1]]v$ , où  $\mathbb{M}$  est un sous module de  $\mathbb{L}_0$  et  $v \in \mathbb{L}_0$ .

## Descriptions de l'ensemble des solutions

1. Description ensembliste
2. Description algébrique

## Calcul de la description ensembliste

1. Position de Noether et module de courbe
2. Éléments primitifs et représentations univariées
3. Algorithme de résolution
4. Calcul des multiplicités

## Calcul de la description algébrique

1. Localisation et intersection
2. Calcul du module localisé de courbe
3. Formes de Hermite et sommes de modules

## Conclusion

## Forme de Hermite Normale

Soit  $M \in (\mathbb{K}[[x_1]])_{\delta \times (\delta+1)}$  de rang  $\delta$ .

$\exists ! H \in (\mathbb{K}[[x_1]])_{\delta \times (\delta+1)}$ ,  $\exists ! P \in (\mathbb{K}[[x_1]])_{(\delta+1) \times (\delta+1)}$  inversible, telles que

- $H = MP$ ,
- $H$  est de la forme

$$H = \begin{pmatrix} x_1^{\nu_1} & 0 & \cdots & 0 & 0 \\ h_{2,1} & \ddots & \ddots & \vdots & \vdots \\ \vdots & \ddots & \ddots & 0 & \vdots \\ h_{\delta,1} & \cdots & h_{\delta,\delta-1} & x_1^{\nu_\delta} & 0 \end{pmatrix},$$

- pour  $k > l$ ,  $\deg(h_{k,l}) < \nu_k$ .



## Bases Polynomiales de Sous Modules de $\mathbb{L}_0$

Soit  $\mathbb{M}$  un sous module de rang  $\delta$  de

$$\mathbb{L}_0 = \mathbb{K}[[x_1]] \frac{1}{x_1^m} \oplus \cdots \oplus \mathbb{K}[[x_1]] \frac{x_2^{\delta-1}}{x_1^m}.$$

### Définition

Une base  $\varepsilon_1, \dots, \varepsilon_\delta$  de  $\mathbb{M}$  est dite **base triangulaire normale** de  $\mathbb{M}$  si la matrice  $\begin{pmatrix} \varepsilon_1 & \cdots & \varepsilon_\delta \end{pmatrix}$  est sous forme de Hermite normale.

### Proposition

- Il existe une unique base triangulaire normale de  $\mathbb{M}$  ;
- Pour  $j \in \{1, \dots, \delta\}$ , les coordonnées des  $\varepsilon_j$  appartiennent à  $\mathbb{K}[x_1]$ .
- Si  $\mathbb{M}$  contient  $\mathbb{M}_0 = \mathbb{K}[[x_1]] \oplus \cdots \oplus \mathbb{K}[[x_1]]x_2^{\delta-1}$ , les coordonnées de  $\varepsilon_1, \dots, \varepsilon_n$  sont de degré au plus  $m$ .

## Somme de modules

Entrée :

- un sous module  $M$  de  $\mathbb{L}_0$  de rang  $\delta$  contenant  $M_0$ ,  
donné par sa base triangulaire normale  $\varepsilon_1, \dots, \varepsilon_\delta$  ;
- $v \in \mathbb{L}_0$ .

Sortie :

la base triangulaire normale  $\eta_1, \dots, \eta_\delta$  de  $M + \mathbb{K}[[x_1]]v$ .

On pose  $M = \begin{pmatrix} \varepsilon_1 & \cdots & \varepsilon_\delta & v \end{pmatrix}$ ,

et  $M_{m\delta+1} = M \bmod x_1^{m\delta+1}$ .

**Proposition**

Les formes de Hermite normales de  $M$  et  $M_{m\delta+1}$  sont égales.  
En particulier, les coordonnées de  $\eta_j$  sont les coefficients de la  $j$ -ème colonne de la forme de Hermite de  $M_{m\delta+1}$ .

## Descriptions de l'ensemble des solutions

1. Description ensembliste
2. Description algébrique

## Calcul de la description ensembliste

1. Position de Noether et module de courbe
2. Éléments primitifs et représentations univariées
3. Algorithme de résolution
4. Calcul des multiplicités

## Calcul de la description algébrique

1. Localisation et intersection
2. Calcul du module localisé de courbe
3. Formes de Hermite et sommes de modules

## Conclusion

## Résultat principal

**Théorème** [*Durvye 07*]

Sous les hypothèses précédentes,

il existe un **algorithme probabiliste** qui calcule

- les racines  $p$  du système,
- les matrices de multiplication par  $x_1, \dots, x_n$  dans une base de leur algèbre locale  $\mathbb{D}_p$ ,

avec

$\tilde{O}(D^{11} + (L + ns)D^6)$  opérations arithmétiques dans  $\mathbb{K}$ ,

où

- $n$  est le nombre de variables,
- $L$  est le coût d'évaluation de  $f_1, \dots, f_s, g$  donnés par un circuit arithmétique,
- et  $D = d^n$ , où  $d \geq 2$  est le maximum des degrés de  $f_1, \dots, f_s$ .

## Contributions

- présentation concise de l'algorithme Kronecker et preuves constructives (les seuls prérequis pour la lecture de la thèse sont quelques résultats sur les modules sur un anneau principal) ;
- lever des hypothèses de régularité, ce qui permet de calculer les multiplicités sans coût supplémentaire ;
- algorithmes pour le calcul des formes réduites de matrices à coefficients dans un anneau de séries formelles (formes de Hermite et de Smith, avec multiplicateurs) ;
- nouvel algorithme de calcul de la décomposition primaire pour les idéaux de dimension nulle, avec son étude de coût.